

# Исследование ферромагнетизма металлических соединений со структурой перовскита

Р. О. Зайцев<sup>1)</sup>

Российский научный центр “Курчатовский Институт”, 123182, Москва, Россия

Поступила в редакцию 24 мая 2005 г.

После переработки 30 июня 2005 г.

На основе представления о сильном взаимодействии в одной и той же элементарной ячейке установлена возможность существования ферромагнитной неустойчивости в системе с пересеками между анионами кислорода и катионами переходных элементов (Me) в соединениях типа  $A_{1-x}B_x\text{MeO}_3$ . Построена фазовая диаграмма существования ферромагнитного упорядочения в зависимости от степени недозаполнения ( $h_{t,d}$ ) и ( $h_p$ ) низкоспиновой  $t_{2g}^6$ - или высокоспиновой  $3d^{10}$ -оболочки переходного металла и  $2p^6$ -оболочек  $\text{O}^{2-}$ .

PACS: 71.10.-w, 75.50.Cc

В настоящей работе изучаются электронные свойства простейших металлических соединений со структурой перовскита  $A_{1-x}B_x\text{MeO}_3$ , где А и В – разновалентные катионы с полностью не заполненными наружными оболочками, которые находятся в центре куба. Магнитные свойства исследуются на основе обобщенной модели Хаббарда, в которой в качестве нулевого приближения используются наимизшие по энергии состояния с максимальным спином, а расщепление по полному орбитальному моменту не учитывается.

В металлической фазе дальнодействующая часть кулоновского и обменного взаимодействий существенно заэкранирована, так что ниже учитываются только переходы между ближайшими соседями, обусловленные перекрытием волновых функций. Соответственно этому имеем гамильтониан

$$\begin{aligned} \hat{H} = & \sum_{\mathbf{r}, \mathbf{r}'} V^{\alpha, k}(\mathbf{r}, \mathbf{r}') \left\{ \hat{d}_{\alpha, \sigma}^+(\mathbf{r}) \hat{p}_{k, \sigma}(\mathbf{r}') + \text{h.c.} \right\} + \\ & + \sum_{\mathbf{r}, \sigma} (\epsilon_d - \sigma H) \hat{d}_{\alpha, \sigma}^+(\mathbf{r}) \hat{d}_{\alpha, \sigma}(\mathbf{r}) + \\ & + \sum_{\mathbf{r}, \sigma} (\epsilon_p - \sigma H) \hat{p}_{k, \sigma}^+(\mathbf{r}) \hat{p}_{k, \sigma}(\mathbf{r}). \end{aligned} \quad (1)$$

Здесь индексы  $\alpha$  пробегают значения, которые соответствуют пяти вырожденным состояниям  $3d$ -электронов переходного катиона; индексы  $k$  пробегают три значения, что соответствует трем вырожденным  $p$ -состояниям кислородных анионов.

Одночастичные энергии  $\epsilon_{p,d}$  считаются заданными энергетическими параметрами. Магнитная фазо-

вая диаграмма будет рассчитана для всевозможных значений  $\epsilon_p$  и  $\epsilon_d$ .

Матрицы интегралов перекрытия  $V^{\alpha, k}(\mathbf{r}, \mathbf{r}')$  – те же, что и в приближении сильной связи для заданной кристаллической решетки. При этом предполагается, что переходы происходят без изменения знака проекции спина  $\sigma = \pm$ .

При заданном расположении наимизших состояний атомных мультиплетов коллективизация переходов между  $(N-1)$ - и  $N$ -частичными состояниями определяется полюсами одночастичной функции Грина. Для ее вычисления запишем разложение операторов рождения и уничтожения по  $X$ -операторам Хаббарда:

$$\hat{d}_{\alpha, \sigma}^+(\mathbf{r}) = \sum_{\beta} b_{\beta}(\alpha, \sigma) \hat{X}_{\mathbf{r}}^{\beta}; \quad \hat{p}_{k, \sigma}^+(\mathbf{r}) = \sum_{\mathbf{v}} g_{\mathbf{v}}(k, \sigma) \hat{Y}_{\mathbf{r}}^{\mathbf{v}}. \quad (2)$$

Здесь  $\beta$  и  $\mathbf{v}$  – номера одночастичных  $d$ - или  $p$ -переходов;  $b_{\beta}$  и  $g_{\mathbf{v}}$  – так называемые генеалогические коэффициенты, которые находим для каждого конкретного типа перехода.

В конечном счете необходимо вычислить средние числа заполнения каждой компоненты мультиплета в зависимости от величины приложенного магнитного поля  $H$ .

Ниже используется однопетлевое приближение, которое является обобщением нульпетлевого приближения, известного в литературе под названием “Хаббард I” [1]. В нульпетлевом приближении каждая собственно-энергетическая часть одночастичной функции Грина определяется так называемым концевым множителем  $f_{\beta}$ , равным сумме чисел заполне-

<sup>1)</sup> e-mail: agydel@veernet.ru

ния начального и конечного состояний, отвечающих заданному переходу  $\beta$ .

Однопетлевому приближению соответствует учет собственно-энергетических частей, которые в этом приближении не зависят ни от импульса, ни от частоты, а зависят от магнитного поля через одиноччастичную функцию Грина. Полная функция Грина  $\hat{D}_\omega(\mathbf{q})$  есть произведение виртуальной функции Грина  $G_\omega^{\alpha, \nu}(\mathbf{q})$  на концевой множитель  $f_\nu$ . Сама же виртуальная функция Грина удовлетворяет уравнению Дайсона:

$$D_\omega^{\alpha, \nu}(\mathbf{q}) = G_\omega^{\alpha, \nu}(\mathbf{q}) f_\nu, \quad \hat{G}_\omega^{-1}(\mathbf{q}) = \left( \hat{G}_\omega^{(0)} \right)^{-1} - \hat{W} - \hat{\Sigma}. \quad (3)$$

Элементы матрицы  $\hat{W}$  определяются через генеалогические коэффициенты разложения (2) операторов рождения и уничтожения после их подстановки в гаммилтониан (1):

$$W_{\beta, \nu}(\mathbf{q}) = f_\beta \sum_{\alpha, k} g_\beta(\alpha) \sum_k V^{\alpha, k}(\mathbf{q}) g_\nu(k). \quad (4)$$

В выбранном однопетлевом приближении собственно-энергетические части выражаются через произведение матричных элементов кинематического взаимодействия на недиагональные компоненты одиноччастичной функции Грина, просуммированной по импульсам и частотам:

$$\Sigma_\alpha = A_{\alpha, \beta} Y_\beta^\sigma + B_{\alpha, \beta} Y_\beta^{-\sigma}. \quad (5)$$

Здесь  $A_{\alpha, \beta}$  и  $B_{\alpha, \beta}$  – заданные числовые матрицы, соответствующие амплитудам перехода кинематического взаимодействия [2, 3]. Функции  $Y_\beta^\sigma$  имеют следующий общий вид:

$$Y_\beta^\sigma = T \sum_{\omega, \mathbf{p}, \gamma} L_{\beta, \gamma}(\mathbf{q}) (G_\omega(\mathbf{p}))_\beta^\gamma, \\ L_{\beta, \gamma}(\mathbf{q}) = \sum_{\alpha, k} g_\beta(\alpha) \sum_k V^{\alpha, k}(\mathbf{q}) g_\gamma(k). \quad (6)$$

Всевозможные  $N$ -частичные числа заполнения, отвечающие переходу  $\alpha$  ( $(N-1)_k, (N)_s$ ), при заданной температуре  $T$  и химическом потенциале вычисляются через диагональные матричные элементы одиноччастичной функции Грина с помощью следующей общей формулы:

$$n_N(s) = T \sum_{\omega, \mathbf{q}} \exp(i\omega\delta) D_\omega^{\alpha, -\alpha}(\mathbf{q}), \\ \delta = 0+, \quad \omega = (2n+1)\pi T. \quad (7)$$

Здесь символ  $-\alpha$  обозначает номер перехода, обратного по отношению к  $\alpha$ .

Правая сторона формулы (7) может быть определена с помощью формул (3)–(5) через концевые множители и собственно-энергетические части, входящие в определение функций Грина (3).

Средние числа заполнения выразим через концевые множители и собственно-энергетические части, так что в используемом приближении удается получить замкнутую систему уравнений для вариаций всех концевых множителей в зависимости от магнитного поля.

В конечном счете удается получить уравнения для нахождения магнитной проницаемости в зависимости от температуры и среднего числа  $h_d$ - и  $h_p$ -дырок, приходящихся на одну элементарную ячейку.

Ферромагнитная неустойчивость определяется из условия появления бесконечной спиновой магнитной восприимчивости.

В пределе  $H = 0$  уравнения состояния записываются через диагональные компоненты виртуальной функции Грина  $G_\omega^{(kk)}(\mathbf{q})$ , которые, в свою очередь, выражаются через нормальные координаты  $A^{(\pm\lambda)}(\mathbf{q})$  и интеграл перескока к ближайшим соседям ( $t$ ):

$$h_d = [h_d] + R_d f_d K_d, \quad h_p = [h_p] + z f_p K_p, \quad (8)$$

$$K_p = 2n_F(\epsilon_p) + \sum_{\mathbf{q}, \lambda=\pm} A_{\mathbf{q}}^{(\lambda)} n_F(\xi_{\mathbf{q}}^{(\lambda)}), \\ K_d = \sum_{\mathbf{q}, \lambda=\pm} A_{\mathbf{q}}^{(-\lambda)} n_F(\xi_{\mathbf{q}}^{(\lambda)}), \quad (9)$$

$$A_{\mathbf{q}}^{(\pm)} = \frac{1}{2} \left[ 1 \pm \frac{\text{sign}(r)}{\sqrt{1+s(1-\epsilon_{\mathbf{q}})}} \right], \quad (10)$$

$$z = 1/3, \quad r = \epsilon_p - \epsilon_d, \quad s = \frac{4t^2 g^2 f_p f_d}{r^2}.$$

Здесь квадратные скобки  $[h_d]$  обозначают целую часть,  $R_d$  – кратность вырождения  $(1+[h_d])$ -дырочных состояний,  $f_p = 1 - 5h_p/6$ ,  $n_F(\epsilon)$  – распределение Ферми. Множители  $R_d$ ,  $f_d$  и суммы квадратов генеалогических коэффициентов  $g^2 \equiv g_d^2 = \sum b_k^2$  записаны в таблицы;

$$\xi_{\mathbf{q}}^{(\pm)} = \pm \frac{|r|}{2} \sqrt{1+s(1-\epsilon_{\mathbf{q}})} - \mu, \quad (11)$$

$$\mu = -\frac{1}{2}(\epsilon_p + \epsilon_d), \quad \epsilon_{\mathbf{q}} = \cos(q_x) \cos(q_y).$$

Однопетлевые собственно-энергетические части не зависят ни от импульса, ни от частоты, так что при нулевом магнитном поле их роль сводится к поправке к величинам  $r$  и  $\mu$  и ниже не учитываются.

Условие возникновения ферромагнитной неустойчивости находим с помощью дифференцирования

уравнений состояния и собственно-энергетических частей [2, 3]. В пределе  $T = 0$  общее уравнение для определения границы парамагнитной и ферромагнитной фазы имеет следующий вид:

$$\begin{aligned}
 K_d(1 - K_d)(1 - zK_p)R_1(Q) = \\
 = V_d f_p (1 - zK_p) [g^2(\Gamma_d + K_d)f_d R_1(Q) + \\
 + zK_d(1 - K_d)R_3(Q)] + \\
 + g^2 V_p f_d K_d (1 - K_d) [1 + z(f_p - K_p)] R_1(Q) - \\
 - g^2 z V_d^2 f_d f_p^2 (1 - zK_p) R_3(Q) (\Gamma_d + K_d) - \\
 - V_p^2 z g^4 f_p f_d^2 K_d (1 - K_d) R_1(Q) - \\
 - g^2 V_p V_d [g^2(1 - zK_p)(\Gamma_d + K_d) R_1(Q) + \\
 + z^2 K_d (1 - K_d) f_p R_3(Q)] + \\
 + z g^2 K_d (1 - K_d) f_p f_d [z E_{pd} W_2 R_3(Q) + \\
 + g^2 W_4 E_{2d} f_d R_1(Q)] + \\
 + g^2 (1 - zK_p) f_p f_d (\Gamma_d + K_d) [g^2 f_d E_{pd} W_2 R_1(Q) + \\
 + z f_p W_4 E_{2d} R_2(Q)] + \beta z C W_4 f_p^2 f_d (1 - zK_p). \quad (12)
 \end{aligned}$$

Здесь  $z = 1/3$ ;  $\Gamma_d$ ,  $\beta$  и  $R_k(Q)$  – безразмерные амплитуды рассеяния, вычисленные для каждого целочисленного интервала средних чисел заполнения  $h_d$ , которые ниже записаны в таблицы;

$$V_d = f_d \frac{\delta K_d}{\delta f_d} = T \sum_{\omega, \mathbf{q}} \frac{E_p t_{\mathbf{q}}^2}{(E_p E_d - \nu |t_{\mathbf{q}}|^2)^2},$$

$$V_p = f_p \frac{\delta K_p}{\delta f_p} = T \sum_{\omega, \mathbf{q}} \frac{E_d t_{\mathbf{q}}^2}{(E_p E_d - \nu |t_{\mathbf{q}}|^2)^2}, \quad \omega = \pi T(2n+1),$$

$$E_{pd} = T \sum_{\omega, \mathbf{q}} \frac{E_p E_d}{(E_p E_d - \nu |t_{\mathbf{q}}|^2)^2},$$

$$W_k = T \sum_{\omega, \mathbf{q}} \frac{t_{\mathbf{q}}^k}{(E_p E_d - \nu |t_{\mathbf{q}}|^2)^2}, \quad E_{p,d} = i\omega - \epsilon_{p,d},$$

$$E_{2d} = \frac{\delta K_p}{\delta \epsilon_p} = T \sum_{\omega, \mathbf{q}} \frac{E_t^2}{(E_p E_d - \nu |t_{\mathbf{q}}|^2)^2}, \quad (13)$$

$$E_{2p} = \frac{\delta K_d}{\delta \epsilon_d} = T \sum_{\omega, \mathbf{q}} \frac{E_p^2}{(E_p E_d - \nu |t_{\mathbf{q}}|^2)^2},$$

$$C = T \sum_{\omega, \mathbf{q}} \frac{E_p}{E_d(E_p E_d - \nu |t_{\mathbf{q}}|^2)},$$

$$Q = \frac{[K_d - n_F(\epsilon_d)]}{g^2 f_d}, \quad \nu = g^2 f_d f_p;$$

$g^2 = \sum b_k^2$  – сумма квадратов генеалогических коэффициентов, вычисленных с учетом кратности вырождения для заданной группы выделенных переходов.

Условие ферромагнитной нестабильности устанавливает функциональную зависимость между энергетическими параметрами  $\epsilon_p$  и  $\epsilon_d$ . Подстановка этой зависимости в уравнения состояния позволяет определить фазовую границу в переменных  $(h_p, h_d)$  (см. рис.1-5).

В простейшем случае  $0 < h_d < 1$ ,  $0 < h_p < 1$ , когда система резонирует между нульдырочными и однодырочными состояниями, имеем следующий набор коэффициентов:

Таблица Ia ( $t_{2g}$ -состояния)

$g^2$	$R_d$	$f_d$	$\Gamma_d$	$R_{1,2,3}(Q)$	$\beta$
1	6	$1 - 5h_d/6$	0	1	0

Таблица Ib ( $3d$ -состояния)

$g^2$	$R_d$	$f_d$	$\Gamma_d$	$R_{1,2,3}(Q)$	$\beta$
1	10	$1 - 9h_d/10$	0	1	0

Подставляя эти коэффициенты в общее уравнение (12), а также в уравнения состояния (9), получим фазовые диаграммы, изображенные на рис.1. Левая

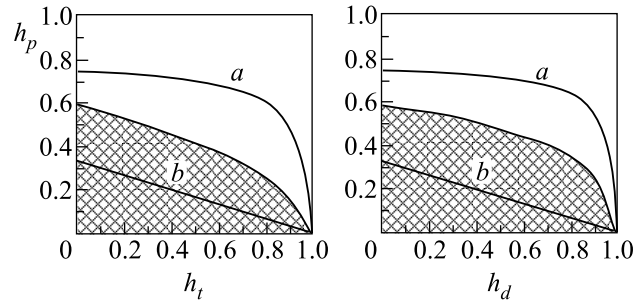


Рис.1. Магнитная фазовая диаграмма при  $T = 0$ , ферромагнитные области заштрихованы; вычисления произведены в модели плоской зоны; а – граница заполнения нижней подзоны, б – линии электронейтральности  $3h_p + h_{t,d} = \max \{h_{t,d}\}$

половина рисунка относится к низкоспиновым  $t_{2g}$ -дырочным состояниям, правая половина – к высокоспиновым  $3d$ -состояниям. Прямые б – линии электронейтральности  $3h_p + h_{t,d} = 1$ ; кривые а – границы заполнения нижней подзоны.

Как видно из рис.1, в области малых чисел заполнения предлагаемый механизм возникновения ферромагнетизма соответствует концепции Зинера. Согласно этой теории, энергетическая выгодность состояний с одинаково направленными спинами имеет место, если перескок в соседнюю ячейку происходит без изменения проекции спина. Однако с возрастанием энергии относительного движения амплитуда рас-

сения в возбуждений с противоположными спинами изменяет знак, что приводит к появлению граничной концентрации, начиная с которой система остается парамагнитной при всех температурах (см. рис.1).

В случае  $1 < h_d < 2$ ,  $0 < h_p < 1$ , когда свойства  $d$ -системы определяются переходами между однодырочными и двухдырочными состояниями, имеем следующий набор коэффициентов:

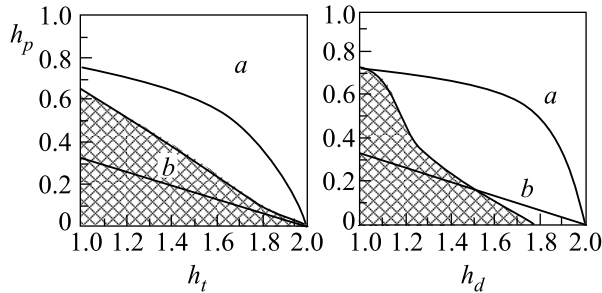
Таблица IIa ( $t_{2g}$ -состояния)

$g^2$	$R_d$	$f_d$	$\Gamma_d$
3	9	$(4 - h_d)/18$	$1/3$
$R_1(Q)$	$R_2(Q)$	$R_3(Q)$	$\beta$
1	1	1	0

Таблица IIb ( $3d$ -состояния)

$g^2$	$R_d$	$f_d$	$\Gamma_d$
6	30	$(5 - 2h_d)/30$	$1/3$
$R_1(Q)$	$R_{2,3}(Q)$	$\beta$	
$3 + 14zQ$	$1 + 6zQ$	8	

С помощью этих коэффициентов и основного уравнения (12) получим фазовые диаграммы, изображенные на рис.2.

Рис.2. Магнитная фазовая диаграмма при  $T = 0$ . Обозначения те же, что и на рис.1

Существенное различие между левой ( $t_{2g}$ )- и правой ( $3d$ )-диаграммой обусловлено наличием резонансного слагаемого  $\sim C$ , который имеет логарифмическую сингулярность. В низкоспиновой части фазовой диаграммы линия электронейтральности  $b$  соответствует соединениям  $\text{La}^{3+}\text{Mn}^{3+}\text{O}_3^{2-}$ ,  $\text{Sr}^{2+}\text{Ru}^{4+}\text{O}_3^{2-}$ , которые имеют ферромагнитные свойства в условиях, когда они существуют в недеформированной кубической фазе [4]. На этой же линии расположены ортоферриты  $\text{Bi}^{3+}\text{Mn}^{3+}\text{O}_3^{2-}$ ,  $\text{Sr}^{2+}\text{Fe}^{4+}\text{O}_3^{2-}$ ,  $\text{Ba}^{2+}\text{Fe}^{4+}\text{O}_3^{2-}$ , которые имеют низкие температуры перехода: 103, 160 и 180 К [5].

В случае  $2 < h_d < 3$ ,  $0 < h_p < 1$ , когда  $d$ -воздействия определяются переходами между двухдырочными и трехдырочными состояниями, получим следующие коэффициенты:

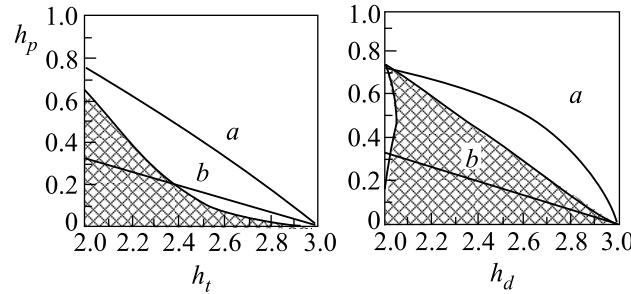
Таблица IIIa ( $t_{2g}$ -состояния)

$g^2$	$R_d$	$f_d$	$\Gamma_d$
2	4	$(5h_d - 6)/36$	$2/3$
$R_1(Q)$	$R_{2,3}(Q)$	$\beta$	
$9 - 2zQ$		$13 + 6zQ$	$-40/3$

Таблица IIIb ( $3d$ -состояния)

$g^2$	$R_d$	$f_d$	$\Gamma_d$
12	40	$(6 - h_d)/120$	$2/3$
$R_1(Q)$	$R_{2,3}(Q)$	$\beta$	
1		0	

С помощью этих коэффициентов и уравнения (12) получим фазовые диаграммы, изображенные на рис.3.

Рис.3. Магнитная фазовая диаграмма при  $T = 0$ . Обозначения те же, что и на рис.1

Качественное различие между левой и правой диаграммами обусловлено наличием резонансного рассеяния ( $\beta \neq 0$ ), которое в данном случае проявляется только в низкоспиновых  $t_{2g}$ -состояниях. В соответствии с этим линия электронейтральности  $3h_p + h_t = 3$  пересекает ферромагнитную область в ограниченном интервале  $2 < h_t < 2.4$ . Это обстоятельство согласуется с экспериментально наблюдаемым ферромагнетизмом соединений  $\text{La}_{1-x}\text{Ca}_x\text{MnO}_3$  и  $\text{La}_{1-x}\text{Sr}_x\text{MnO}_3$ , который проявляется только для ограниченной области дипирования ( $0 < x < 0.5$ ) [6].

В высокоспиновой части фазовой диаграммы, для которой  $\beta = 0$ , линия электронейтральности  $b$  пересекает ферромагнитную область во всем интервале концентраций  $h_d$ .

В области  $3 < h_t < 6$ ,  $0 < h_p < 1$  имеет место компенсация вклада  $t_{2g}$ -электронов и  $2p$ -дырок, что приводит к отсутствию ферромагнетизма.

В случае  $3 < h_d < 4$ ,  $0 < h_p < 1$ , когда свойства  $d$ -системы определяются переходами между трех- и четырехдырочными состояниями, находим следующие коэффициенты:

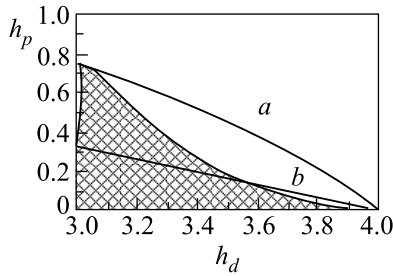
Таблица IV (3d-состояния)

$g^2$	$R_d$	$f_d$	$\Gamma_d$
10	25	$(3h_d - 4)/200$	1

$R_1(Q)$	$R_2(Q)$	$R_3(Q)$	$\beta$
1	$7 + 6zQ$	$3 + 2zQ$	-10

Соответствующая фазовая диаграмма изображена на рис.4.

Рис.4. Магнитная фазовая диаграмма при  $T = 0$ . Обозначения те же, что и на рис.1

Линия электронейтральности  $3h_p + h_d = 4$  соответствует ферромагнитным соединениям  $\text{LaCoO}_3$  и  $\text{FeTiO}_3$  [4, 6].

В случае  $4 < h_d < 5$ ,  $0 < h_p < 1$ , когда свойства  $d$ -системы определяются переходами между четырех- и пятидырочными состояниями, находим следующие коэффициенты:

Таблица V (3d-состояния)

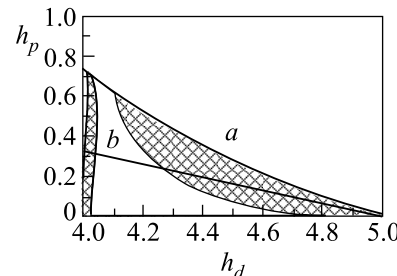
$g^2$	$R_d$	$f_d$	$\Gamma_d$
3	6	$(19h_d - 70)/150$	$4/3$

$R_1(Q)$	$R_{2,3}(Q)$	$\beta$
$15 - 26zQ$	$31 + 6zQ$	-112

Соответствующая фазовая диаграмма изображена на рис.5. В этом случае уравнение (12) содержит резонансное слагаемое с большим коэффициентом,  $|\beta| = 112$ . По этой причине линия электронейтральности  $3h_p + h_d = 5$  только частично пересекает ферромагнитную область (см. рис.5). Вдоль этой линии расположены ферромагнитные соединения  $\text{LaFeO}_3$  и  $\text{MnTiO}_3$ .

В оставшейся области концентраций  $5 < h_d < 10$ ,  $0 < h_p < 1$  ферромагнетизм отсутствует по причине

Рис.5. Магнитная фазовая диаграмма при  $T = 0$ . Обозначения те же, что и на рис.1

существенной компенсации вклада от  $3d$ -электронов и  $2p$ -дырок.

Таким образом, в обобщенной модели Хаббарда с сильным электрон-электронным отталкиванием фазовая диаграмма определяется энергетической зависимостью амплитуды кинематического взаимодействия [2, 3]. При малой энергии возбуждений амплитуда рассеяния с противоположными спинами имеет положительный знак, так что ферромагнетизм существует в области малого числа дырок. Однако с повышением энергии амплитуда рассеяния уменьшается, что приводит к появлению критической концентрации, начиная с которой система остается парамагнитной даже при  $T = 0$ . Если катионы переходного элемента имеют  $S > 1/2$ , тогда в системе появляется резонансное рассеяние на локальном уровне с энергией  $\epsilon_d$ , прилегающем к верхнему краю нижней гибридизационной зоны. При этом амплитуда рассеяния имеет логарифмическую особенность кондовского типа.

В результате при  $4 > h_d < 5$  происходит качественное изменение магнитной фазовой диаграммы. В области конечных концентраций появляется новая достаточно широкая ферромагнитная область, в то время как в промежуточной области система остается парамагнитной.

Для промежуточных концентраций,  $2 < h_d < 3$  и  $1 < h_d < 4$ , влияние резонансного рассеяния сводится к уменьшению ферромагнитной части фазовой диаграммы за счет возрастания ее парамагнитной части.

1. J. Hubbard, Proc. Roy. Soc. A **277**, 237 (1964).
2. Р. О. Зайцев, ЖЭТФ **123**, 325 (2003).
3. Р. О. Зайцев, Диаграммные методы в теории сверхпроводимости и ферромагнетизма, М.: УРСС, 2004.
4. З. Метфесель, Д. Маттис, Магнитные полупроводники, М.: Мир, 1972, с. 202.
5. С. Тикадзуми, Физика ферромагнетизма, М.: Мир, 1983, с. 248.
6. Д. Гуденаф, Магнетизм и химическая связь, М.: Металлургия, 1968, с. 250.